

적외선 용융대역법에 의한 $\text{La}_{1/3}\text{MO}_3$ ($M=\text{Nb}, \text{Ta}$) 단결정 성장 및 유전 특성

손정호, Mitsuru Itoh*, 조상희
경북대학교 무기재료공학과, 대구, 702-701
* 동경공업대학 공업재료연구소, 요코하마 226, 일본

Crystal growth and dielectric properties of $\text{La}_{1/3}\text{MO}_3$ ($M=\text{Nb}, \text{Ta}$) by infrared floating zone method

Jeong Ho Sohn, Mitsuru Itoh* and Sang Hee Cho

Department of Inorganic Materials Engineering, Kyungpook National University, Taegu
702-701, Korea

* Research Laboratory of Engineering Materials, Tokyo Institute of Technology 4259 Nagatsuta,
Midori-ku, Yokohama 226, Japan

요약 $\text{La}_{1/3}\text{NbO}_3$ 와 $\text{La}_{1/3}\text{TaO}_3$ 의 대형 단결정을 적외선 용융대역법으로 제작하여 A-자리
공공이 유전 특성에 미치는 영향에 대하여 조사하였다. Weissenberg 및 Precession 사진에서
 $\text{La}_{1/3}\text{TaO}_3$ 결정의 대칭성은 tetragonal이며, 격자정수는 $a \approx 0.397$, $b \approx 0.397$, $c \approx 0.775$ 이다. 유
전이상은 $2/3\text{La}^{3+}$ 이온이 공공자리로의 이동에 기인한 것으로 추측하였다.

Abstract $\text{La}_{1/3}\text{NbO}_3$ and $\text{La}_{1/3}\text{TaO}_3$ large single crystal was prepared by the infrared floating zone method and their crystal structure and dielectric properties were investigated from the viewpoint of A-site vacancy. In $\text{La}_{1/3}\text{TaO}_3$ crystal, the crystal symmetry and approximate lattice constants was tetragonal and $a \approx 0.397$, $b \approx 0.397$ and $c \approx 0.775$ from the nonextinction and the reciprocal lattice point length seen on Weissenberg and Precession photographs. The jump of some $2/3\text{La}^{3+}$ ions leads to increase the moving paths due to the generation of new vacancies at middle empty sites and thus this result is confirmed to provoke the dielectric anomaly.

1. 서 론

망간산화물과 같은 특수한 경우를 제외하고는 일반적으로 ABO_3 perovskites에서 B -자리 양이온 결핍이 존재하기가 어려운 반면 A -자리는 구조에 큰 변화없이 조성의 넓은 범위에 걸쳐서 공공이 형성될 수 있다. 이러한 사실은 격자 potential로부터 알 수 있는데, $B\text{-}O$ bond는 $A\text{-}O$ bond보다 강하여 A -자리 공공은 B -자리 공공보다 쉽게 생성되어 질 수 있다[1,2]. 사실 A -양이온 공공은 $\text{La}_{2/3}\text{TiO}_3$ [3], $\text{Sr}_{1-x}\text{NbO}_3$ ($0.05 \leq x \leq 0.03$) [4], $\text{Na}_{1-x}\text{WO}_3$ ($0.05 \leq x \leq 0.70$)[5], $\text{La}_{1/3}\text{NbO}_3$ [6,7], $\text{La}_{1/3}\text{TaO}_3$ [6,7] 등의 몇 가지 화합물에서 발견될 수 있다. 그 중에서 $\text{La}_{1/3}\text{NbO}_3$ (이하 LNO)와 $\text{La}_{1/3}\text{TaO}_3$ (이하 LTO)는 단위격자 내에 두개의 산소 팔면체를 포함하는 double-perovskite 구조이며, 결정의 대칭성은 각각 orthorhombic과 tetragonal이다[7]. Fig. 1은 LNO와 LTO의 단위격자의 구조를 나타낸 것으로 A -자리 공공은 여러 곳에서 존재함을 알 수 있다. $A_{z=0}$ -자리에서는 La^{3+} 이온이 $2/3$ 만큼 채워지고 나머지 $1/3$ 은 공공으로 존재하며, $A_{z=0.5}$ -자리에서는 모두 공공만으로 채워진다. 즉 이 화합물은 z -축을 따라서 $z=0$ 층과 A -자리가 공공만으로 채워진 $z=0.5$ 층이 서로 한 층씩 번갈아 채워져 있어 A -자리 질서 perovskite 구조라고도 말한다. 이러한 A -자리 공공에 기인하여 산소 팔면체 내부에 위치한 B -양이온은 중심으로부터 상하로 이동하여 나타나며, xy -방향에서 본 $B\text{-}O\text{-}B$ -사슬은 규칙적으로 구부러져 연결되어 있기 때문에 강유전성 및 반강유전성을 나타낼 가능성이 있다. 한편 SrTiO_3 같은 이상적인 perovskite 구조에 비해서 LNO와 LTO는 외부의 영향에 따라 변화할 수 있는 요소가 많음에도 불구하고

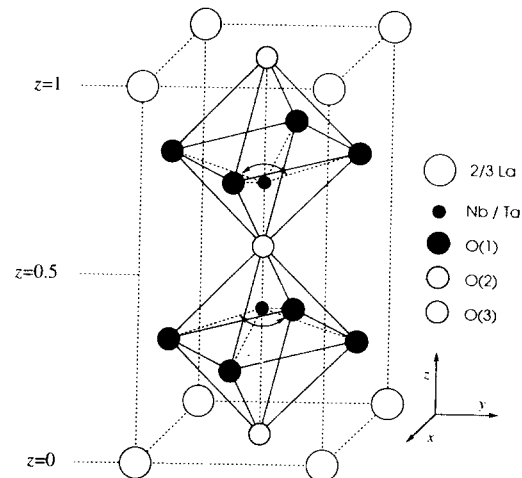


Fig. 1. Crystal structure of $\text{La}_{1/3}\text{MO}_3$ ($M = \text{Nb}$ or Ta).

이들 화합물에 대한 물성연구는 체계적으로 되어 있지 않은 실정이다. 지금까지 이들 계에 대한 물성연구는 전기전도성[8,9] 및 Li을 삽입(intercalation)한 화합물의 Li-이온 전도성[10] 등이 있으나, 유전성에 대해서는 보고가 없었다.

본 연구에서는 LNO와 LTO의 단결정을 제외한 용융대역(Infrared Floating Zone)법으로 제작하여, 육성된 단결정의 결정성 조사 및 A -자리 공공의 관점에서 유전 특성을 조사하였다.

2. 실험 방법

2.1. 시료 제작

세라믹 feed와 seed는 일반적인 고상반응 법으로 제작하였다. 출발물질은 La_2O_3 , Nb_2O_5 및 Ta_2O_5 (순도 > 99.9 %)이며, 에탄올과 함께 혼합하였다. 이 혼합물은 1073 K에서

10시간 하소하였으며, 분쇄 후 LNO와 LTO는 1473 K 및 1773 K에서 각각 재하소하였다. 얻어진 하소분말은 얇은 고무 튜브에 넣고 충진시킨 다음 250 MPa의 정수압하에서 가압한 후, 지름 5~7 mm, 길이 50~80 mm의 원료봉을 만들었다. 단결정 육성을 위한 LNO와 LTO 봉은 1573 K, 6시간 및 1873 K, 15시간 각각 소결하였다.

2.2. 단결정 성장

단결정 육성에 이용된 적외선 용융대역법의 장치도는 Fig. 2에 나타내었다. feed와 seed 세라믹 봉은 축 방향과 평행하게 배열한 다음 두 세라믹 봉의 끝점을 주의깊게 일치시켜 회전하였을 때 훈들림이 없도록 하였다. 금으로 coating된 parabolic mirror는 표면을 잘 연마하여 빛의 반사율을 높게 하였다. 1500 W 할로겐 램프는 대기중에서 냉각하였다. 석영관 내부에 있는 feed와 seed 세라믹 봉은 mirror로부터 독립되어 있으며, 수직방향으로 상승 및 하강하며, 각각 독립

적으로 회전한다. 본 실험의 feed와 seed 회전수는 30 rpm이었으며, 회전함에 따라 furnace(Nichiden Machinery Ltd.)의 촛점(hot focus)을 통해서 봉은 용융되었다. LTO의 경우, 결정성장비는 4 mm/h였으며, Ar 95 %· H_2 5 %의 혼합가스를 주입하였다. 반면 LNO의 경우, 혼합가스 및 산소 분위기의 경우는 안정한 용융대(molten zone)를 형성할 수 없었으나 공기 중에서는 결정이 안정하게 육성되었으므로 그때의 성장비는 1.8 mm/h였다. 용융대의 온도조절은 램프의 공급 전원을 변화함에 따라 조절하였다.

2.3. 측정

LNO와 LTO의 결정성 및 방향은 Laue X-ray photograph에 의해서 조사하였다. 회절반점은 정으로서 정의할 수 있었다. LTO 단결정에 있어서, 결정 symmetry와 근사 격자정수는 Weissenberg(Ni-filter 사용)와 Precession(Zr-filter 사용) 사진을 이용하였다. 분밀 X-선 회절장치(Mac Science X-ray diffractometer)의 분석에 의해서 상의 합성정도를 분석하였다.

유전 특성의 측정은 시료의 양면에 은전극을 도포하여 impedance analyzer(YHP 4192-A)을 이용하여 4 단자 ac impedance법으로 행하였다. 측정온도 범위는 실온에서 820 K이며, 주파수 범위는 5~600 kHz였다.

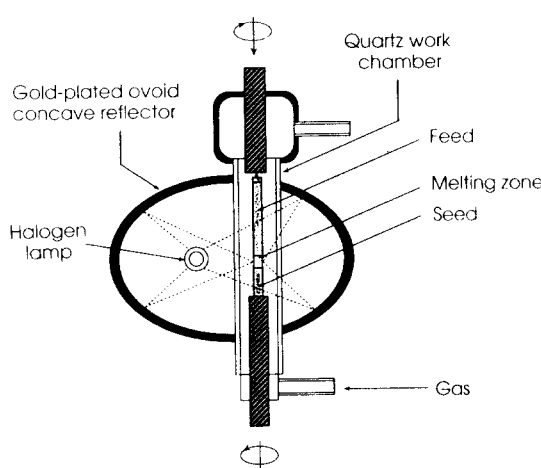


Fig. 2. Schematic illustration of infrared zone-melting apparatus.

3. 결과 및 고찰

3.1. 결정성 및 구조 분석

적외선 용융대역법에 의해 성장된 LNO와 LTO의 단결정은 Fig. 3에 나타내었다. 얻어

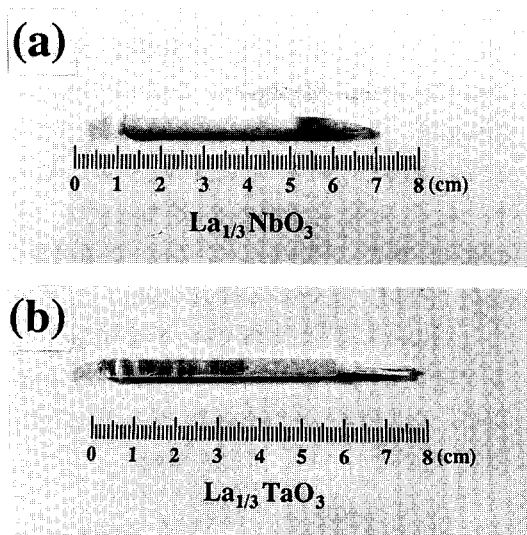


Fig. 3. As-grown boule of (a) $\text{La}_{1/3}\text{NbO}_3$ and (b) $\text{La}_{1/3}\text{TaO}_3$ single crystals.

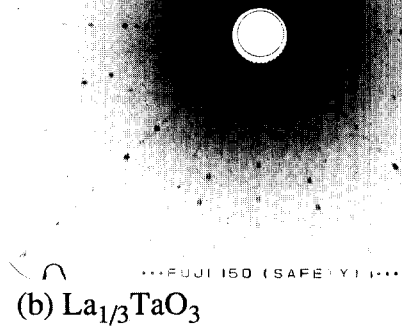
진 단결정은 연한 검정색의 투명체였으며, 그 크기는 직경 4~6 mm, 길이 50 mm 정도였다. 또한 산소 분위기에서 1273 K, 12시간 열처리한 후의 단결정은 무색의 투명체였다. 단결정은 일정한 방향으로 쉽게 벽개하였다.

Fig. 4는 LNO와 LTO의 Black-reflection Laue X-선 사진을 나타낸 것이다. 반점의 형태가 일정한 방향으로 나열되어 있는 것으로 미루어 보아 이들은 양질의 단결정이었으며, 분석한 결과 벽개면은 (001)임을 알 수 있었다.

단결정의 양호도 조사 및 결정구조 해석을 위해서 LTO 단결정을 지름 100 μm 정도의 구형으로 특수 연마하였으며, Weissenberg 카메라와 Precession 카메라로 촬영하였다. 먼저 Weissenberg 진동사진으로부터 반점은 가로 중심선을 축으로 상하대칭이었고 세로 중심선에 수직으로 평행선상에 놓여졌다. 또한 평행선상에 있는 반점 층의 수직간 거리

는 약 0.79 nm였다. 이러한 결과는 Iyer 등 [7]의 결정구조 해석에서 z -축이 x -혹은 y -축의 2배인 것과 일치됨에 따라 수직 축이 z -축인 것으로 추측할 수 있다. 한편 Weissenberg 진동사진 촬영으로부터 시편 및 카메라의 위치가 잘 일치되어 예상되는 xy 면을 촬영할 수 있었다.

(a) $\text{La}_{1/3}\text{NbO}_3$



(b) $\text{La}_{1/3}\text{TaO}_3$

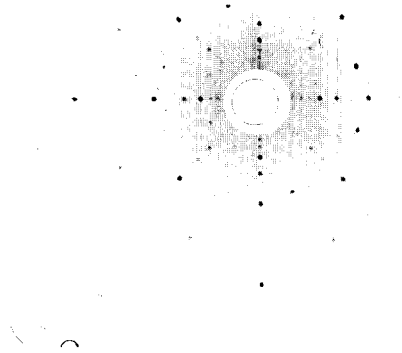


Fig. 4. Black-reflection Laue X-ray photograph of a cleaved surface ((001) plane) of (a) $\text{La}_{1/3}\text{NbO}_3$ and (b) $\text{La}_{1/3}\text{TaO}_3$ single crystals.

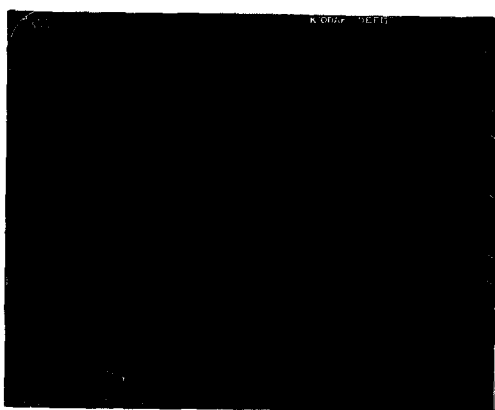


Fig. 5. Schematic zero layer ($hk0$) Weissenberg photograph for $\text{La}_{1/3}\text{TaO}_3$.

Fig. 5는 LTO의 0-층(zero-layer, $hk0$)에 대한 Weissenberg 사진을 나타낸 것이다. 반점들은 좌우대칭으로 규칙적으로 분포되어 있음에 따라 쌍정(twin)등이 없는 양질의 단결정임을 다시 한번 확인할 수 있었다. 이 반점들의 분석 결과 소멸측(extinction rule)이 적용되지 않았으며, x - 및 y -축의 격자정수는 각각 0.399 및 0.398로 오차범위를 고려하면 거의 같은 값임을 알 수 있었다. xy 면에 수직한 면, 즉 z -축에 대한 정보를 얻기 위하여 0-층($h0k$)의 Precession 사진을 Fig. 6에 나타내었다. 반점들은 x - 및 y -축을 중심으로 바둑판처럼 규칙적으로 배열되었다. 수평방향으로 배열된 최인접 역격자점들의 길이는 수직방향의 그들 길이의 반정도였다. 따라서 Fig. 6에 직사각형으로 나타낸 것처럼 LTO의 대칭구조는 z -축이 2배인 tetragonal이며, 격자정수는 약 $a \approx 0.397$, $b \approx 0.397$, $c \approx 0.775$ 이다.

3.2. 유전 특성

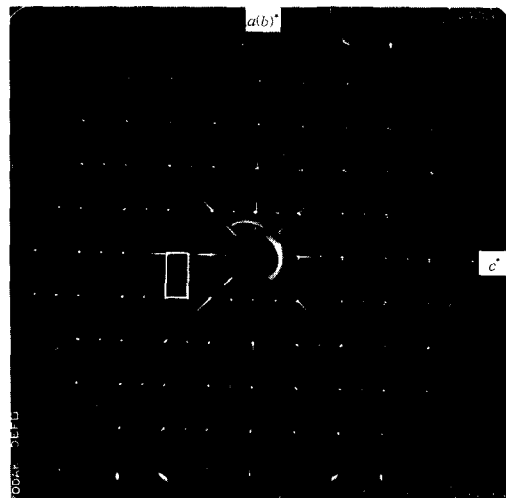


Fig. 6. Precession photographs of the double perovskite-type $\text{La}_{1/3}\text{TaO}_3$, taken at room temperature. The ($h0k$) zone of the tetragonal type. The insetred quadraangles show the unit areas for the sublattice structures. Note that the extra reflections are observed along the c^* -axis at 1/2.

단결정 시편을 벽개하여 Laue X-선 분석에 의해서 각각의 면을 결정한 후 유전 특성을 측정하였다. (001)면에 평행하게 전극을 도포한 경우의 유전율은 ϵ_c , (001)면에 수직하게 전극을 도포한 경우의 유전율은 $\epsilon_{a(b)}$ 로 각각 명명하였다. Fig. 7은 LNO와 LTO의 (001)면 및 수직한 면에 대한 유전율의 온도의존성을 나타낸 것이다. 전반적으로 LNO의 유전율은 LTO의 유전율보다 2배 이상 높은 값을 보이고 있다. 그 이유는 이들 두 단결정이 double-perovskite 구조를 갖고 있다 할지라도 양이온(d -궤도)과 산소($2p$ -궤도) 사이의 에너지 차는 Nb-O(4d-series)가 Ta-O(5d-series)보다 더 작기 때문에 Nb-O의 결합강도는 더욱 강하게 되어 산소

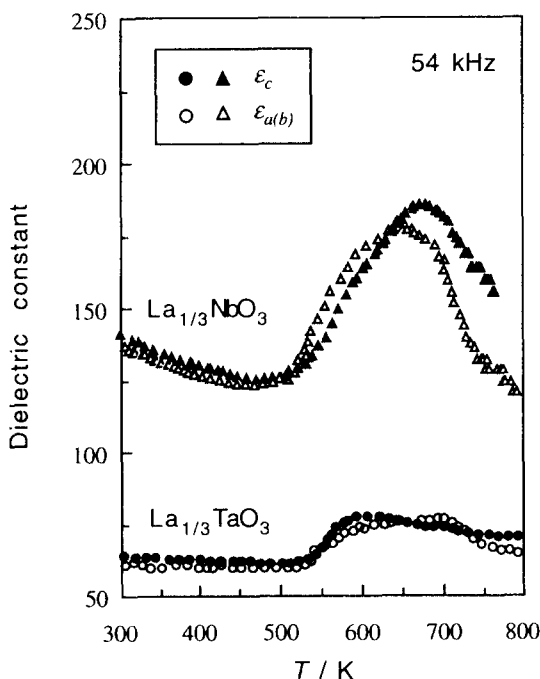


Fig. 7. Comparison of temperature dependence of dielectric constants for $\text{La}_{1/3}\text{NbO}_3$ and $\text{La}_{1/3}\text{TaO}_3$ single crystals in the parallel ($a(b)$ -axis) and perpendicular (c -axis) direction.

8면체 내부에 있는 Nb^{5+} 이온이 Ta^{5+} 이온보다 분극축(polar axis)에 따라 더 많이 이동하게 되어 TaO_6 팔면체보다 더 높은 NbO_6 팔면체에 기인한 것이라 할 수 있다. 유전율에 대한 이방성은 거의 나타나지 않았다. 한편 550 K 이상의 온도에서 두 시편 모두 유전이상 피크가 나타남을 볼 수 있었다. 이러한 유전이상은 La^{3+} 이온이 열에너지에 의한 안정한 자리로의 이동에 의한 것이라 추측된다. 즉 $z=0$ 자리에 있는 $2/3\text{La}^{3+}$ 이온이 전부 비어 있는 $z=0.5$ 자리로 이동에 기인한 것이라 할 수 있다. 따라서 LNO와 LTO의 경우, 결손형 A -자리 이온은 일반적인 perovskite 화합물에서의 A -자리 이온보

다 온도에 따른 영향을 더 많이 받는다고 할 수 있다. 예를 들면, Torii 등[11]은 분말 합성된 LNO를 1773 K에서 금속하였을 때 단순 cubic perovskite 상이 나타남을 보고하였는데 이 또한 La^{3+} 이온의 재배열에 기인한 것이다. La^{3+} 이온의 이동의 가능성은 격자에 대한 에너지 및 site potential을 계산함에 따라 더욱 커진다. Table 1은 A -자리 order- 및 disorder-perovskite $A^{3+}B^{5+}\text{O}_3$ 산화물에 대한 격자에너지와 site potential을 나타낸 것이다. 격자에너지와 site potential의 계산은 RIETAN 내의 부속프로그램인 MADEL을 이용하였으며[12], 계산에 필요한 perovskite unit cell의 격자정수는 3.92로 하였다. A -자리가 모두 채워진 것(일반적인 ABO_3 perovskite 구조물)을 disorder-perovskite 산화물, z -축 방향으로 A -자리가 한 층 걸러 한 층씩 채워진 것(Fig. 1)을 order-perov-

Table 1

Lattice energy and site potential for A -site order- and disorder-perovskite $A^{3+}B^{5+}\text{O}_3$ compounds*

	order perovskites	disorder perovskites
Lattice energy (kcal·mol ⁻¹)	- 5368	- 4981
Potential(Å ⁻¹)		
$A_{z=0}$	- 3.38	- 0.86
$A_{z=0.5}$	- 0.71	- 0.86
B	- 3.32	- 3.70
O(1)	1.96	1.78
O(2)	2.22	1.78
O(3)	2.25	1.78

*The value of lattice parameter is 3.92 Å for the perovskite unit cell.

skite 산화물로 명명하였다. 격자에너지는 order-와 disorder-perovskite 구조에서 비슷한 값이었으나, site potential은 다르게 나타났다. disorder-perovskite 구조와 order-perovskite 구조에서 $A_{z=0.5}$ -자리의 potential의 절대값을 비교해 보면, order-perovskite 구조에서의 값이 낮기 때문에 이온을 포획할 가능성이 높다. 또한 order-perovskite 구조는 $A_{z=0.5}$ -자리의 공공에 기인하여 (0, 1/2, 1/4)의 4개의 산소 O(1)의 potential이 O(2)와 O(3)보다 낮기 때문에 심한 열진동 또한 예상할 수 있다. 따라서 LNO와 LTO에서 La^{3+} 이온과 A-자리 공공의 재배열에 의해서 유전이상이 나타났다고 추측할 수 있다.

4. 결 론

$\text{La}_{1/3}\text{NbO}_3$ 과 $\text{La}_{1/3}\text{TaO}_3$ 의 단결정을 적외선 용융대역(Infrared Floating Zone)법으로 제작하여, 육성된 단결정의 결정성 조사 및 A-자리 공공의 관점에서 유전 특성을 조사하였다. 직경 4 ~ 6 mm, 길이 50 mm의 단결정은 연한 검정색의 투명체였으나 산소 분위기에서 열처리한 후의 단결정은 무색의 투명체였다. $\text{La}_{1/3}\text{TaO}_3$ 의 결정구조는 z-축이 2배인 tetragonal이었다. 유전 특성의 이방성은 나타나지 않았으며, 550 K 이상에서 유전이상은 La^{3+} 이온과 A-자리 공공의 재배열에 기인한 것으로 추측하였다.

감사의 글

본 연구는 한국과학재단 '95 국내 Post-Doc. 연수 지원의 일환으로 수행되었으므로 이에 감사 드립니다.

참 고 문 헌

- [1] W.V. Gool and A.G. Piken, J. Mater. Sci. 4 (1969) 95.
- [2] M. Yoshimura, T. Nakamura and T.S. Bull, Tokyo Inst. Technol. 120 (1974) 13.
- [3] M. Abe and K. Uchino, Mat. Res. Bull. 9 (1974) 147.
- [4] E.J. Hubibregtse, D.B. Barker and G. C. Danielson, Phy. Rev. 82 (1951) 770.
- [5] D. Ridgley and R. Ward, J. Am. Chem. Soc. 77 (1955) 6132.
- [6] H.P. Rooksby, E.A.D. White and S.A. Lanston, J. Am. Chem. Soc. 48 (1965) 447.
- [7] P.N. Iyer and A.J. Smith, Acta Cryst. 23 (1967) 740.
- [8] A.M. George and A.N. Virkar, J. Phys. Chem. Solids 49 (1988) 743.
- [9] T. Goto, C.W. Chen and T. Hirai, J. Ceram. Soc. Jpn. 103 (1995) 50.
- [10] A. Nadiri, G.L. Flem and C. Delmas, J. Solid State Chem. 73 (1988) 338.
- [11] Y. Torii, T. Sekiya and T. Yamamoto, Mat. Res. Bull. 17 (1982) 727.
- [12] F. Izumi, H. Murata and N. Watanabe, J. Appl. Crystallogr. 20 (1987) 411.